

Curie-point pyrolyzer-GC/MSD를 이용한 4-hydroxy-3-methoxybenzaldehyde의 열분해물 분석

유의경·김옥찬*

세종대학교 자연과학대학 화학과, *한국인삼연초연구원 화학부

(1996년 6월 14일 접수, 1996년 10월 4일 채택)

Analysis of 4-hydroxy-3-methoxybenzaldehyde pyrolyzates by Curie-point pyrolyzer-GC/MSD

Euy Kyung Yu and Ok-Chan Kim*

Department of Chemistry, Sejong University, Seoul 133-747, Korea

*Korea Ginseng & Tobacco Research Institute, Daejeon 305-345, Korea

(Received June 14, 1996, Accepted October 4, 1996)

요약 : 바니린을 Curie-point pyrolyzer-GC/MSD 장치를 사용하여 920, 740, 500, 333°C에서 각각 열분해하고, 열분해 생성물을 분리 및 확인하였다. 확인된 성분중에서 920°C에서는 95개 성분, 740°C에서는 40개 성분, 500°C에서는 17개 성분, 333°C에서는 11개 성분을 확인할 수 있었으며 이 열분해 반응생성물 중 주요 생성물인 벤젠, 페놀, 2-히드록시 벤즈알데히드, 2-메톡시페놀, 4-메톡시벤즈알데히드, 벤즈알데히드, 메톡시벤젠, 1,3-시크로펜타디엔 등은 바니린의 작용기가 해리되었거나, 분해된 생성물로 생각되며, 1,3-benzodioxole-5-carbox-aldehyde, 메틸벤젠, 스타렌, 메틸페놀 등은 500°C 이하에서도 바니린의 메톡시 작용기가 해리되어 생성되는 것으로 생각된다.

Abstract: This study was carried out to present a analysis of pyrolytic degradation of 4-hydroxy-3-methoxybenzaldehyde(vanillin) pyrolyzed at 330°C~920°C by Curie-point pyrolyzer connected with GC/MSD by on-line system. Identified by GC/MSD were 100 pyrolytic products of vanillin. The pyrolysis of the compound gave benzene, phenol, 1,3-cyclopentadiene, methyl benzene, benzaldehyde, benzofuran, and cresol as major products, which were produced by pyrolytic degradation and synthesis of vanillin radicals.

1. 서 론

유기 화합물의 열분해 반응은 간단한 지방족 화합물이나 방향족 화합물로부터 천연물의 구조결정에 hot tube 방법이 20세기에 도입되어 가수 분해나 산화적 분해 반응에 주요한 기구로 사용되었다. 그 후 석유공업 화학에서 케톤이나 산 무수물로부터 케텐의 형성, 에스테르의 열분해에 의한 알켄의 제조, Diels-

Alder 조개지기반응에 의한 시클로헥센으로부터 디엔들의 제조, Elbs 반응에 의한 여러 고리 탄화수소의 합성 등에 이용되었다. 기체 크로마토그라피의 발달로 기체 크로마토그라피와 열분해 장치를 연결하여 반응 속도론의 연구와 분석 연구가 가능해졌다[1, 2]. 열분해 장치로는 유기물질의 형태에 따라, 고체와 비휘발성 액체의 열분해에는 hot-filament, Curie-point, furnace, continuous mode 등이[3, 4] 사용

되나 장치에 따라 생성물이 다르기 때문에 장치의 선택이 매우 중요하다. 한편 휘발성 물질이나 기체들은 furnace type에 quartz tube나[5] stainless steel tube reactor를[6] 많이 사용하고 있으나, 약 20% 만 변환된 pyrogram을 얻는 단점이 있다[7]. Pyrolysis-gas chromatography는 합성 폴리머의 확인, 폴리머의 미세구조 결정[8-11], 생물학적 거대분자들의 조사 등에[12] 주로 이용되고 있으며 최근에는 환경 공학적으로 열분해 생성물의 조사, 단편적이나 마 담배와 식품 재료들의 열적 분해 생성물에 대한 연구 보고가 있다[13-15].

본 연구는 담배향의 첨가가 담배향 자체가 가지고 있는 특성 이외에 담배가 연소 할 때 첨가된 향의 특성변화를 알아야 하기 때문에 담배향으로 많이 쓰이는 바니린을 선정하여 담배의 연소온도중 고온대 (high temperature zone, 900~600°C)인 740°C와 920°C, 열분해 증류온도대(pyrolysis distillation zone, 600~100°C)인 333°C와 500°C에서 각각 열분해하여 온도별 열분해 생성물들을 확인함으로서 첨가된 향의 연소 후의 변화와 특성을 파악하는 데 중요한 의미가 있으며, 더 나아가 식품들을 열처리하였을 때 내용성분의 변화, 고분자물질들을 연소시킬 때에 공해물질의 발생 여부, 합성폴리머들의 구조 결정 등에 응용할 수 있으리라 생각되어, Curie-point 열분해 장치와 GC/MSD(gas chromatography/mass selective detector)를 on-line system으로 연결하고 담배향으로 많이 쓰이는 바니린의 작용기 차이가 열분해 생성물의 변화에 어떻게 영향을 주는지를 연구하고자, 분해 생성물의 분리와 확인 그리고 열분해 메카니즘을 제시하였다.

2. 실험

2.1. 시약 및 기구

이 실험에 사용된 바니린은 Aldrich사(미국) 특급 시약을 그대로 사용하였고, 용매는 Merck사(독일) 특급을 사용하였다. Curie-point pyrolyzer는 JAI사(일본) JHP-3S를, GC/MSD는 HP사(미국) HP 5890II와 HP 5970 MSD를 on-line system으로 구성하여 열분해 생성물들을 분리, 확인을 하였다.

2.2. 열분해

시료 1.0g을 에틸에테르 용매에 녹여 10ml로 만든

후 2μl을 920, 740, 500, 333°C Curie-point pyrofoil에 각각 주입한 후 상온에서 용매를 날려보내고, 헬륨 기체를 60ml/min의 유속으로 흘리면서 10초간 열분해하였으며 열분해 물질은 스텐레스 스틸 강판으로 된 syringe형의 interface를 통하여 GC/MSD 주입구에 직접 주입하였다. Pyrolyzer 오븐의 온도는 250°C, syringe interface의 온도는 250°C로 고정하였다.

2.3. 열분해물의 분리 및 확인

열분해물의 분리는 HP ultra-2 용융 실리카 모세관(0.2mm ID, ×50m)을 사용하였고 GC 오븐의 온도는 액체질소를 이용하여 -50°C에서 0°C까지는 10°C/min으로, 0°C에서 50°C까지는 5°C/min으로, 50°C에서 230°C까지는 2°C/min으로 승온하였고, 230°C에서 30분간 머물게 하였다. 이때 감지기의 온도와 주입구 온도는 250°C이었으며 운반기체는 헬륨으로 0.7ml/min의 유속으로 하였으며, splitless mode로 주입을 하였다. MSD의 ion source의 진공도는 3.5 × 10⁻⁵ torr 이하이며 이온화 전압은 70eV이었다. 열분해물의 확인은 Wiley/NBS MS spectra data가 저장된 컴퓨터를 이용하여 match quality가 90% 이상인 성분만을 Table 1에 결과 처리하였다.

3. 결과 및 고찰

3.1. 바니린의 열분해 결과

경쾌하고 달콤한 향과 맛의 특성을 갖고 있기 때문에 담배향료로 많이 사용되는 바니린을 온도별로 열분해하여 그 분해생성물을 분리, 확인하여 비교하였다. 또한 이 연구에서는 열분해 조건과 분해 생성물의 확인은 on-line system으로 구성된 Curie-point pyrolyzer-GC/MSD를 사용하였다.

이와 같은 system으로 얻은 바니린의 온도별 열분해 생성물의 total ion chromatogram을 Fig. 1, 2, 3, 4에 나타내었다. 이 결과에서와 같이 열분해 온도가 333°C에서 920°C로 높아질수록 분해생성물의 종류가 크게 증가하는 pyrogram을 얻을 수 있었다. 즉 온도가 높아질수록 열분해되지 않고 증류되는 바니린의 분포비는 333°C에서 98.5%, 500°C에서 93.5%, 740°C에서 78.9% 그리고 920°C에서는 55.1%로 각각 감소하였다. 이러한 결과는 열분해온도가 500°C 이하에서는 바니린의 열분해가 7% 미만이 이루어짐을

Table 1. Pyrolyzates of Vanillin at 333, 500, 740, 920°C

(area %)

No.	pyrolyzate	920°C	740°C	500°C	333°C
1	1,3-butadiene	0.47	0.09	—	—
2	1-buten-3-yne	0.51	0.09	—	—
3	1,1-dimethyl cyclopropane	t	0.01	—	—
4	2-propanone	0.17	—	1.61	—
5	1,2-pentadiene	0.41	0.08	—	—
6	1,3-pentadiene	0.16	0.06	—	—
7	1,3-cyclopentadiene	1.36	0.23	—	—
8	3-pentene-1-yne	0.17	0.05	—	—
9	2-methylfuran	0.11	0.04	—	—
10	2,4-hexadiene	0.20	0.05	—	—
11	3-methyl-1,3-pentadiene	0.04	—	—	—
12	ethylidene-cyclopropane	0.04	0.04	—	—
13	1,4-hexadiene	0.04	—	—	—
14	1,4-cyclohexadiene	0.60	0.12	—	—
15	1,3-cyclopentadiene-5-methyl	0.45	0.09	—	—
16	1,3-cyclohexadiene	0.05	0.01	—	—
17	benzene	1.50	0.26	0.08	0.03
18	3-methylene cyclopentene	0.18	—	—	—
19	4,4-dimethyl cyclopentene	0.04	—	—	—
20	2,5-dimethyl furan	0.03	—	—	—
21	2,4-heptadiene	0.03	—	—	—
22	3-methyl-1,3,5-hexatriene	0.08	—	—	—
23	2-methyl-1,3,5-hexatriene	0.05	—	—	—
24	1,3,5-heptatriene	0.03	—	—	—
25	methylbenzene	0.86	0.13	0.05	0.03
26	2-cyclopenten-1-one	0.27	0.07	—	—
27	1-methyl-1-buten-3-yne	0.42	—	—	—
28	ethylbenzene	0.22	0.05	—	—
29	1,3-dimethyl benzene	0.18	0.03	—	—
30	ethynylbenzene	0.17	—	—	—
31	styrene	0.77	0.16	0.03	0.01
32	1,4-dimethyl benzene	0.09	—	—	—
33	2-methyl-2-cyclopenten-1-one	0.09	—	—	—
34	3-methyl-2-cyclopenten-1-one	0.08	—	—	—
35	methoxybenzene	0.05	0.06	t	—
36	(1-methylethyl)-benzene	0.03	—	—	—
37	bicyclo[4,2,0]octa-1,3,5-triene	0.03	—	—	—
38	benzaldehyde	0.31	0.14	0.08	—
39	phenol	4.35	1.61	0.25	0.32
40	2,3-dihydro-1H-indene	0.01	—	—	—
41	1-ethenyl-4-methylbenzene	0.23	—	—	—
42	benzofuran	0.79	0.09	—	—
43	2-propenylbenzene	0.11	—	—	—
44	cyclopropyl benzene	0.86	—	—	—
45	4-hydroxy benzaldehyde	2.22	1.37	0.09	0.06
46	2-methylphenol	1.38	0.43	—	—
47	4-methylphenol	0.32	0.09	t	—
48	3-methylphenol	0.36	0.15	—	—

No.	pyrolyzate	920°C	740°C	500°C	333°C
49	benzoic acid	0.12	—	—	—
50	2-methoxyphenol	1.67	2.06	0.96	0.03
51	2-ethenyl-1,4-dimethylbenzene	0.02	—	—	—
52	2-methylbenzofuran	0.15	—	—	—
53	3-methylbenzofuran	0.11	—	—	—
54	1-methyl(4-methylethenyl)-benzene	0.03	—	—	—
55	2-ethylphenol	0.27	0.16	—	—
56	2,3-dimethylphenol	0.15	—	—	—
57	benzeneacetaldehyde	0.11	—	—	—
58	1-methyl-1H-indene	0.38	—	—	—
59	1,4-dimethoxybenzene	—	—	0.03	—
60	1,2-dihydronaphthalene	0.24	—	—	—
61	naphthalene	0.11	—	—	—
62	3,4-dimethylphenol	0.06	—	—	—
63	3-hydroxybenzenethanol	0.10	—	—	—
64	1,1a,6,6a-tetrahydrocycloprop(a)indene	0.06	—	—	—
65	Azulene	0.49	—	—	—
66	1,2-benzenediol	3.27	3.15	1.78	0.33
67	2-methoxy-4-methylphenol	—	0.05	—	—
68	3-phenyl-2-propenal	0.12	—	—	—
69	2,3-dihydrobenzofuran	0.04	—	—	—
70	2-ethenylbenzofuran	0.06	—	—	—
71	2-(1-mehtylethyl)-phenol	0.06	—	—	—
72	dibenzofuran	0.09	—	—	—
73	3,4-dihydro-2H-1-benzopyran	0.03	—	—	—
74	1,2-dihydro-3-methyl naphthalene	0.03	—	—	—
75	2-methyl-1,3-benzenediol	0.79	0.19	—	0.06
76	3-methyl-1,2-benzenediol	0.46	0.20	—	—
77	methylcinnamic aldehyde	0.19	—	—	—
78	1-methylnaphthalene	0.21	0.05	—	—
79	2-methylnaphthalene	0.16	—	—	—
80	3-methoxybenzaldehyde	0.28	0.18	—	—
81	1,3-benzodioxole-5-carboxaldehyde	2.62	4.13	1.78	—
82	1,1' -biphenyl	0.07	—	—	—
83	2-hydroxy benzaldehyde	0.90	0.85	0.04	—
84	vanillin	55.07	78.97	93.54	98.45
85	4-methoxy benzaldehyde	0.20	0.28	0.07	0.15
86	1,2-dihydro acenaphthlene	0.08	—	—	—
87	3,4-dimethoxy benzaldehyde	0.10	0.25	0.07	0.15
88	2-ethylphenol-4,5-dimethylphenol	0.10	—	—	—
89	1-naphthalenol	0.10	—	—	—
90	2-naphthalenol	0.15	—	—	—
91	2,3,5,6-tetramethylphenol	0.13	—	—	—
92	2,6-bis(1,1-dimethylethyl)-4-phenol	0.32	—	—	—
93	3-ethoxy-2-hydroxy benzaldehyde	1.65	—	—	—
94	2-(1,1-dimethylethyl)-4-methylphenol	0.32	—	—	—
95	1,3-benzodioxol-5-ol	0.23	—	—	—
96	2,4-dihydroxybenzaldehyde	0.20	—	—	—

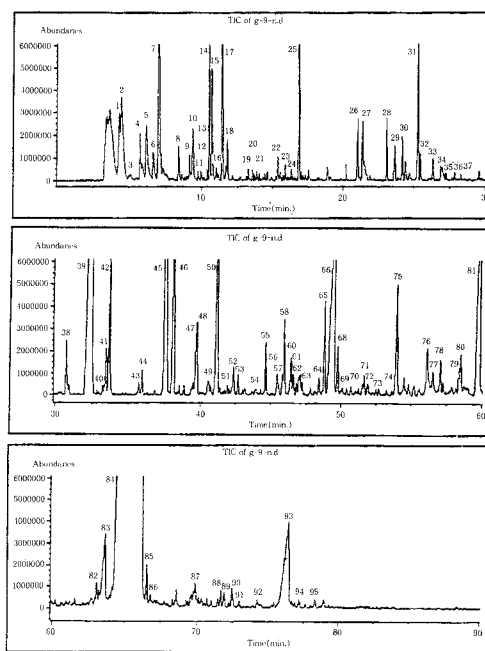


Fig. 1. Total Ion chromatograms of vanillin pyrolyzates at 920°C.

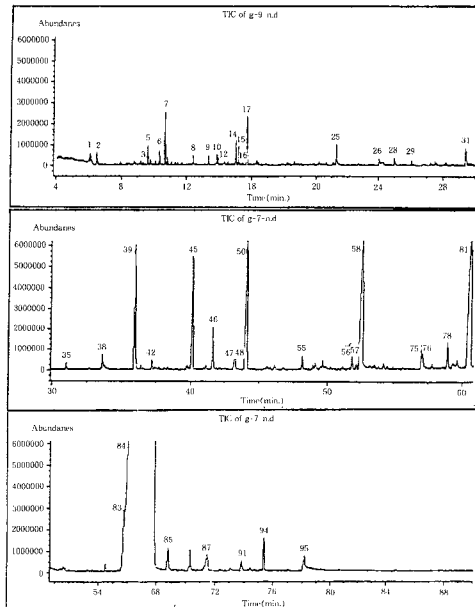


Fig. 2. Total Ion chromatograms of vanillin pyrolyzates at 740°C.

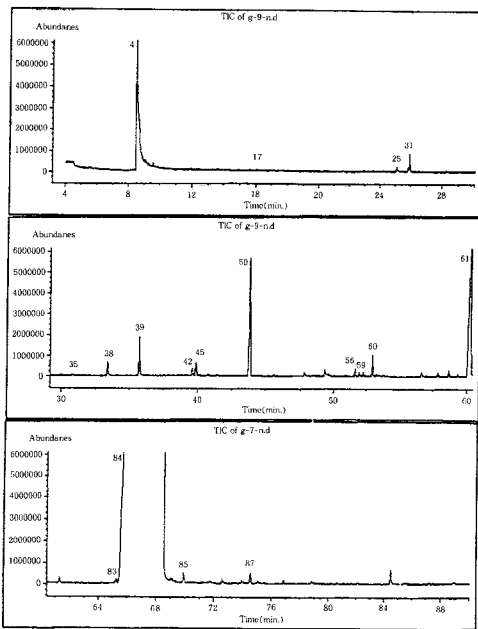


Fig. 3. Total Ion chromatograms of vanillin pyrolyzates at 500°C.

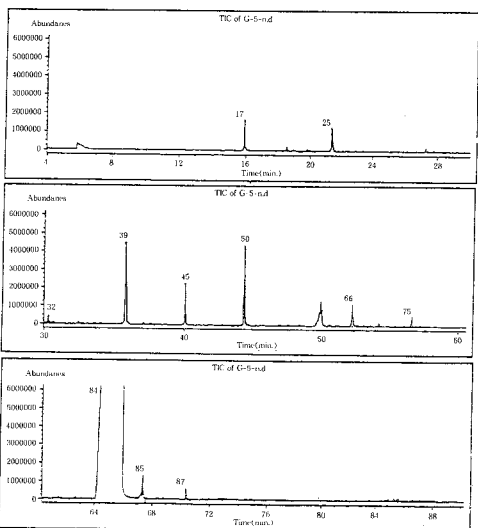


Fig. 4. Total Ion chromatograms of vanillin pyrolyzates at 333°C.

알 수가 있었고, 920°C 이상에서는 약 45% 정도 열분해가 일어나는 것을 알 수 있었다. 이러한 결과는 과[16] 등의 quartz tube와 charcoal tube를 이용한

열분해 생성물의 흡착방법에서 얻은 결과, 즉 500~900°C에서 열분해 생성물의 차이를 발견하지 못한 결과와는 다른 결과이었으며, 기존의 열분해장치에서 단점으로 지적되었던[17] 시료 도입시 열분해 온도 폭이 넓고($\pm 50^{\circ}\text{C}$), 열분해 시간이 비교적 길다는 점(1min~10min)과 흡착제 사용으로 용매 추출에 의한 열분해 생성물의 완전 탈착 등을 기대할 수 없기 때문에 열분해 생성물의 재현성, 2차 반응 등에 있어서 분석방법의 개선이 요구되고 있었다. 그러나 이 연구에서 사용한 Curie-point pyrolyzer는 광범위한 온도범위(160~1040°C)를 설정할 수 있고, 시료 도입시의 온도 변화가 거의 없으며($\pm 1^{\circ}\text{C}$), 열분해 온도 설정 도달시간(0.16sec)이 짧고, 열분해 시간(1sec.~99min)을 정확히 조절할 수 있는 장점이 있을 뿐만 아니라 GC의 오븐 온도를 액체질소를 사용하여 -50°C에서부터 programing 함으로써 열분해 장치의 요구 조건인[17] 재현성이 있는 pyrogram의 획득, 즉 저비점 화합물의 분리가능성이 높고, 2차 반응성의 억제 등이 확보 된다고 볼 수 있다. Table 1에는 333°C, 500°C, 740°C, 920°C에서 열분해하여 GC-MS로 확인된 바니린의 열분해 생성물을 나타내었다. 확인된 성분중에서 920°C에서는 95개 성분, 740°C에서는 40개 성분, 500°C에서는 17개 성분, 333°C에서는 11개 성분을 확인할 수 있었으며, 꽉 등[16]의 보고와는 열분해 생성물수에 많은 차이가 있었다. 알데히드기, 메톡시기, 히드록시기를 가지고 있는 방향족 화합물외에 벤젠이나 메틸벤젠의 분해, 혹은 작용기의 재결합에 의해서 생성된 것으로 추정되는 dienes과 arenes의 성분이 꽉 등의 발표된 연구 결과들에서는 볼 수 없었던 생성물이었다. 한편 920~330°C 온도 범위에서 공통적으로 볼 수 있는 주요 열분해 생성물은 9개 성분이며 이 중에서 벤젠, 페놀, 2-hydroxybenzaldehyde, 2-methoxyphenol, 4-methoxybenzaldehyde 등 5개 성분은 바니린의 작용기가 열적변환에 의해 분해되었거나 자리옮김에 의해 생성된 성분이며 메틸벤젠, 스티렌, 1,2-benzenediol, 3,4-dimethoxybenzaldehyde 등의 4개 성분은 바니린에서 해리된 methoxy 또는 methyl 라디칼이 열적합성으로 생성된 성분으로 생각된다. 또한 OH 작용기를 갖고 있는 화합물이 4개로, CHO 작용기(3개)와 OCH₃ 작용기(3개)를 갖고 있는 생성물수보다 많으며(0.32%), 1,2-benzenediol(0.33%) 분포비는 4-methoxybenzaldehyde(0.15%)나 3,4-dimethoxyben-

zaldehyde(0.15%)보다 높았다.

이것은 작용기의 해리 에너지 상태나 결합의 세기 가 CHO<OCH₃<OH[35]에 따라 페놀 화합물들이 비교적 안정하기 때문인 것으로 생각된다. 500°C에서의 열분해 생성물중 333°C에서 볼 수 없었던 생성물은 바니린의 작용기가 열적변환에 의해 생성된 성분으로 4-hydroxybenzaldehyde, methoxybenzaldehyde 등과 작용기의 토막들이 열적합성에 의해 생겨난 것으로 추정되는 2-propanone, 1,4-dimethoxybenzene, 1,3-benzodioxole-5-carboxaldehyde, 4-methylphenol 등이며, 열적변환에 의해 생성된 성분이 열적합성에 의해 생성된 것으로 생각되는 성분보다 더 많았다. 그리고 4-methoxybenzaldehyde(0.15→0.07%)와 3,4-dimethoxybenzaldehyde(0.15→0.07%)의 분포비가 적어지는 대신 2-methoxyphenol(0.03→0.96%), 1,2-benzenediol(0.33→1.78%) 등의 페놀계 생성물의 분포비가 증가하였으며, 특이한 것은 새로이 생성된 1,3-benzodioxole-5-carboxaldehyde의 분포비가 상대적으로 높은 것이었다.

이러한 화합물들은 비교적 낮은 열분해 온도인 500°C 이하에서 확인된 성분들로 특히 바니린의 메톡시기는 낮은 열분해 온도에서도 쉽게 해리되어 메틸 벤젠, 스티렌, methylphenol 등과 1,4-dimethoxybenzene, 3,4-dimethoxybenzaldehyde 등을 생성한다고 생각되며, Lawson 등[18]은 383°C에서 guaiacol로부터 catechol의 생성을 메톡시기의 작용으로 제안한 바 있다. 740°C에서는 열분해 생성물이 급격히 증가하여 23개의 새로운 열분해생성물을 확인하였으며, 벤젠, 메틸벤젠 또는 cyclohexene으로부터 고리의 열림 또는 탈수소로 형성되는 butadienes, pentadiene, hexadiene, cyclopentadiene, cyclohexadiene, cyclopropane, buten-3-yne, penten-3-yne 등의 화합물들이 많았으며[19-21], cyclohexadiene 분해 또는 methyl 라디칼의 열적합성에 의해 생성되는 methyl, dimethylbenzene 등[22]과 methylphenol 등[23]의 methyl화합물이 주요 생성물이었으며, 그 외에 arylbutadiene 또는 phenylbutadiene에서 생성되는 benzofuran, 나프탈렌 등을[24] 확인할 수 있었다. 그리고, 페놀의 분포비(0.3→1.6%)와 2-hydroxybenzaldehyde의 분포비(0.1→1.4%)가 높아진 것을 알 수 있었다.

920°C에서는 열분해 생성물이 급격히 증가하여 740°C보다 54개의 새로운 열분해 생성물을 확인하였

으며, cyclopropane으로부터 생성되는 cyclopentene계[25-27], propane으로부터 형성되는 cyclopentenone계[28], cyclopentadiene으로부터 형성되는 benzofuran계[29], methylcyclopantanone으로부터 형성되는 dimethylphenol[30], methylaldehyde로부터 형성되는 naphthalenol[31] 등, 토막이온들의 고리화 반응, 자리옮김반응, 제거반응 등에 의해서 생성된 성분들이 주요 생성물이었다. 그 외에 1H-indene, benzoic acid, azulene, 비페닐, naphthalenol, ethenylidenebicyclopropane, tetrahydrocycloprop[a]indene 등의 화합물을 확인할 수 있었다[33-35].

이러한 화합물들의 생성은 Davidson[20] 등의 cyclohexene에서 butadiene의 형성과 Charles[19] 등이 안정한 화합물인 벤젠보다는 툴루엔에서 C₄, C₅ 라디칼을 형성한다는 제안, 그리고 Fields[33] 등의 [2+4] 고리화 첨가 반응으로 생성된다는 제안, 벤젠 고리의 열림으로 생성된 C₂, C₃, C₄ 화합물의 증가와 methylene, methyl, dimethyl, ethyl, ethenyl, ethynyl 등의 벤젠, 폐놀, benzofuran, 1H-indene 화합물의 생성, 수소 첨가에 의한 dihydronaphthalene, dihydrobenzofuran의 생성과 benzaldehyde의 carbonyl기에 OH 라디칼 반응으로 benzoic acid 등이 생성된다는 여러 연구자들의 제안으로 설명할 수 있으며, 이러한 화합물들은 열분해 온도가 920°C로 고온에서 생성된다는 것이 특징이라고 볼 수 있다.

4. 결 론

1) 4-Hydroxy-3-methoxybenzaldehyde(Vanillin)을 Curie-point pyrolyzer와 GC/MS를 on-line system으로 연결하여 열분해온도 333°C, 500°C, 740°C 그리고 920°C에서 각각 열분해하여 얻은 100여 개의 분해생성을 분리 확인하여 바니린의 열분해 메카니즘을 제안할 수 있었으며, 이 연구에서 채택한 열분해 방법은 저비점 분해생성을의 분리와 확인 그리고 재현성 있는 pyrogram을 얻는데 효과적이었다.

2) 바니린의 열분해 온도차이에 따라서 분해생성물의 상대적 조성이 달랐는데 500°C 이하에서는 바니린의 작용기가 분해되어 메틸 또는 메톡시 라디칼이 관여한 성분이 주요 화합물이었고, 700°C 이상에서는 벤젠고리의 열림에 의한 메틸, 메톡시 그리고 히드록시 라디칼이 관여한 성분이 주요 화합물로 확인되었다.

참 고 문 헌

1. L. F. Fieser, In *Organic Reactions*, R. Adams, ed., Wiley Press, New York U.S.A., 1, 12 (1942).
2. F. C. B. Roger, *Pyrolytic Methods in Organic Chemistry*, Academic Press, New York, U.S.A., 2(1980).
3. N. B. Coupe, C. E. R. Jhones, and S. G. Perry, *J. Chromatogr*, **47**, 291(1970).
4. R. L. Levy, *J. Gas Chromatogr*, **5**, 107(1967).
5. A. I. M. Keulemans and S. G. Perry, In *Gas Chromatogr* ed., van Swaay, M. Bulterworths Press, London, U. K., 356(1962).
6. T. Wolf and D. M. Rosie, *Analyt Chem.*, **39**, 725 (1967).
7. B. C. Sternberg, I. H. Krull, and G. D. Friedel, *Analyt. Chem.*, **38**, 1639(1966).
8. G. M. Brauer, *Techniques and Methods of Polymer Evaluation*, Marcel Dekker Press, New York, U.S.A., 1, 41(1970).
9. C. E. R. Jones and G. E. Reynolds, *J. E. Brit. Polymer J.*, **1**, 197(1969).
10. R. Audebert, *Ann. Chim.(France)*, **3**, 49(1969).
11. L. Jacque, *Chimie et Industrie*, **100**, 1108(1968).
12. M. V. Stack, *In gas chromatography*(1968) ed. C. L. A. Harbourn, and R. Stock, Institute of petroleum, London, U. K., 109(1969).
13. H. C. Higman, E. B. Higman, and O. T. Chortyk, *Tobacco Science*, **18**, 136(1974).
14. K. Kato and Y. Shibayama, *일본전매연보*, **104**, 115(1962).
15. J. Janak, *Nature*, **185**, 684(1960).
16. J. J. Kwag, O. C. Kim, and T. M. Park, *J. Korean Soc. of Tob. Sci.*, **6**, 131(1984).
17. N. Oguri and A. Onishi, *Japan Chemistry Express*, **7**, 253(1992).
18. J. R. Lawson and M. T. Klein, *Ind. Eng. Chem. Fundam.*, **24**, 203(1985).
19. D. H. Charles, A. R. Macon, J. I. Simon, and R. V. Levetan, *J. Am. Chem. Soc.*, **84**, 4509(1962).
20. J. G. Davidson, *J. Chem. Soc.*, **10**, 901(1918), R. T. Holman, M. Deubig, and H. Hayes, *Lipids*, **1**,

- 247(1966).
21. B. I. Rosen and W. P. Weber, *Tetrahedron Lett.*, **151**(1977).
22. E. Hedaya and D. W. McNeil, *J. Am. Chem. Soc.*, **89**, 4213(1967).
23. M. F. Semmelhack, H. N. Weller, and J. S. Foos, *J. Am. Chem. Soc.*, **99**, 292(1977).
24. R. J. Spangler, B. G. Beckmann, and J. H. Kim, *J. org. Chem.*, **42**, 2989(1977).
25. L. T. Scott and G. K. Agopian, *J. Am. Chem. Soc.*, **96**, 4325(1974).
26. E. K. Field and S. Meyerson, *Chem. Commun.*, **474**(1965).
27. R. F. C. Brown and G. L. Mc Mullen, *Aust. J. Chem.*, **27**, 2385(1974).
28. H. M. R. Hoffmann, *Angew. Chem. Int. Ed. Engl.*, **8**, 556(1969).
29. M. Yoshida, H. Sugihara, S. Tsu Shima, and T. Miki, *Chem. Commun.*, 1223(1969).
30. L. Kh. Freidlin, A. A. Balandin, and M. Nazarov, *Chem. Abstr.*, **43**, 5758i(1949).
31. R. A. Marty and P. DeMayo, *Chem. Commun.*, 127(1971).
32. P. Schiess and R. Dinkel, *Tetrahedron Lett.*, 2503(1975).
33. E. K. Fields and S. Meyerson, *J. Am. Chem. Soc.*, **89**, 3224(1967).
34. H. F. Grutzmacher and J. Hubner, *Tetrahedron Lett.*, 3057(1971).
35. C. W. Robett and J. A. Melvin, *CRC Handbook of Chemistry and Physics 63rd. CRC Press. Inc. Florida, U.S.A.(1982)*.
36. F. O. Rice and M. T. Murphy, *J. Chem. Soc.*, **66**, 765(1944).